文章编号:1671-4598(2025)08-0045-09

DOI: 10. 16526/j. cnki. 11-4762/tp. 2025. 08. 007

中图分类号:TN406

文献标识码:A

基于深度学习的芯片封装缺陷检测系统设计

郑明志,潘 桥,许海燕

(河海大学 信息科学与工程学院, 江苏 常州 213002)

摘要:针对集成电路芯片封装过程中普遍存在的缺陷问题,设计基于深度学习的芯片封装缺陷检测系统;通过构建高效的图像采集系统,开发了基于 YOLOv7 算法的缺陷检测软件,并创新性地设计了一套适用于多种封装类型的小型封装芯片高速转塔式测试分选装置及基于 PC 上位机的控制系统;该系统实现了对芯片封装缺陷的高速、高精度在线检测与识别,同时完成了缺陷芯片的自动剔除,有效提高了产品质量信息反馈的准确性与时效性;实验结果表明,该检测系统识别准确率超过 90%,检测速度达到 22.5 FPS 以上,并在实际生产环境中稳定运行,满足了集成电路芯片封装工程上对于高效缺陷检测与剔除的需求。

关键词:芯片封装;缺陷检测;深度学习;YOLOv7算法;图像识别;在线监测

Design of Chip Packaging Defect Detection System Based on Deep Learning

ZHENG Mingjie, PAN Qiao, XU Haiyan

(School of Information Science and Engineering, Hohai University, Changzhou 213002, China)

Abstract: Aiming at the prevalent defect issues in the packaging process of integrated circuit chips, a chip packaging defect detection system based on deep learning is designed. Construct an efficient image acquisition system, develop a defect detection software based on YOLOv7 algorithm, and innovatively design a set of high-speed turret testing and sorting device suitable for various types of small packaged chips and a control system based on PC host computer This system has the characteristics of high-speed, high-precision online detection and recognition of chip packaging defects, completing the automatic rejection of defective chips, effectively enhancing the accuracy and timeliness of product quality information feedback. Experimental results demonstrate that the detection system achieves a recognition accuracy rate of over 90%, with a detection speed of over 22.5 FPS, which operates stably in actual production environments, meeting the requirements of efficient defect detection and rejection in integrated circuit chip packaging engineering.

Keywords: chip packaging; defect detection; deep learning; YOLOv7 algorithm; image recognition; on-line monitoring

0 引言

随着科技的进步,集成电路芯片被广泛应用于通信、计算机、消费电子、汽车电子及工业控制等各个领域,其市场需求量持续攀升,对芯片产量和生产效率提出了更高要求。集成电路芯片的封装是半导体制造过程中的关键环节,它不仅保护芯片免受外界环境的影响,还确保芯片与外部电路的正确连接。然而,随着工艺节点的不断缩小和集成度的提升,封装过程中的缺陷问题日益凸显。据统计,高端制程如台积电的3nm工艺制程,其良品率仅为55%左右,其中相当一部分是由于

芯片表面缺陷所致。这不仅造成了巨大的经济损失,还 严重影响了产品的上市时间和市场竞争力。因此,如何 有效检测并剔除这些缺陷芯片,提高产品良品率,成为 半导体制造企业面临的重要挑战。

近年来,深度学习技术已经被广泛应用于图像处理领域。众多深度学习模型的出现,如 AlexNet、VGG-Net、GoogleNet、ResNet等,在图像分类任务上取得了惊人的成果。在芯片封装领域,基于深度学习的目标检测算法已经得到了广泛应用,可以自动识别芯片的缺陷和组件的位置等,从而帮助提高生产效率和降低成本。文献[1]提出了一种利用卷积神经网络进行缺陷

收稿日期:2024-07-16; 修回日期:2024-08-21。

基金项目:国家自然科学基金项目(61701169)。

作者简介:郑明杰(2002-),男,大学本科。

通讯作者:许海燕(1978-),女,博士,副教授。

引用格式:郑明杰,潘 桥,许海燕.基于深度学习的芯片封装缺陷检测系统设计[J].计算机测量与控制,2025,33(8):45-53.

识别的半监督学习方法。文献「2〕提出了一种利用通 道注意模块和自适应特征融合的改进视网膜网用于钢铁 表面缺陷检测。这是对单级检波器 RetinaNet 的优化和 改进,以提高所提模型对钢表面缺陷的检测精度,并使 用自适应空间特征融合提高特征融合。文献[3]提出 了 SO-YOLO, 通过浅层特征的扩展特征融合, 利用 kmeans++聚类优化锚框的数量和大小并去除冗余 YOLOv5 头部网络分支,提高检测效率。并将 SO-YO-LO 应用在在芯片的缺陷检测中,提高检测精度并降低 模型复杂度。文献「4]提出采用语义分割方法研究芯 片分层缺陷检测问题。双焦点机制首先采用白板网络结 构来识别真正的层次区域。然后将缺陷层区域与原图进 行对比,在白板上注意分层缺陷的识别。文献「5〕提 出了一种将注意力与 YOLOv7 相结合的用于微小缺陷 检测的对象检测网络, 该网络由特征提取主干、空间注 意模块和特征融合模块组成。SAM 可以校正特征图的 值,突出缺陷区域,从而更有效地识别芯片表面的微小 缺陷。

在国内,随着国家对高科技产业的重视和支持力度不断加大,半导体行业取得了显著进步。在集成电路芯片封装缺陷检测领域,国内学者和机构也积极开展研究,并取得了一系列重要成果。例如,清华大学和北京大学的研究团队在深度学习算法的优化和应用方面取得了突破性进展,他们通过迁移学习和模型剪枝等技术手段,有效提高了缺陷检测的准确率和效率。此外,中芯国际、华为海思等企业在芯片缺陷检测设备设计和市场推广方面也取得了长足发展,逐步打破了国外企业的垄断地位。但总体来看,目前具有代表性的国产芯片封装缺陷检测装置,与日本上野精机、香港 ASM 等进口装缺陷检测装置,与日本上野精机、香港 ASM 等进口装缺陷检测装置,与日本上野精机、香港 ASM 等进口装

因此,本文进行基于深度学习的芯片封装缺陷检测系统设计,针对集成电路芯片封装缺陷开展图像采集系统搭建、基于深度学习技术的芯片封装缺陷检测方法研究与关键高端装置设计,实现基于自主平台的集成电路芯片封装缺陷检测应用及相关关键高端设备的研制提供理论与技术支撑。

本系统在以下几个方面展现出显著的优势,这些优势不仅深化了技术应用的深度与广度,更为国内半导体产业的发展注入了新的活力。本系统的主要优势包括:

1) 深度学习技术的精准应用:深度学习以其强大的特征提取和模式识别能力,在图像处理领域取得了显著突破。在本系统中,利用深度学习算法,特别是卷积神经网络等先进模型,对芯片封装过程中的复杂缺陷进

行了深入分析和学习^[6]。通过大量的训练数据和精细的模型调优,系统能够精准地识别出各种细微且难以察觉的缺陷,如划痕、裂纹、污染等,实现了对复杂缺陷的自动化、高精度分类。这种技术的应用,极大地提高了缺陷检测的准确性和效率,为半导体制造企业提供了可靠的质量保障。

- 2) 自主设计设备与控制系统的创新:本系统自主设计了测试分选设备与控制系统,实现了对多种封装类型芯片的高速、稳定检测,降低了企业的运营成本。设备采用了先进的机械设计和精密的控制系统,能够实现高速、稳定的芯片检测和分选。同时,通过集成智能化算法,设备能够自动调整检测参数,适应不同封装类型和规格的芯片,提高了检测的灵活性。此外,自主设计的控制系统还具备故障自诊断和远程监控功能,确保了设备的长期稳定运行和高效维护。
- 3) 面向多种封装类型的广泛适用性:本系统通过优化算法和设备结构,使检测系统能够兼容多种封装类型芯片。无论是传统的 DIP (Dual In-line Package)、SOP (Small Outline Package) 封装,还是先进的 BGA (Ball Grid Array Package)、CSP (Chip Scale Package) 封装的系统都能实现高效、准确的检测[7]。这种广泛的适用性不仅满足了当前半导体制造企业的多样化需求,也为未来新封装技术的发展预留了空间。

1 系统结构及原理

1.1 系统整体结构

基于深度学习的芯片封装缺陷检测系统设计需要实现快速、自动、高准确率的封装缺陷检测,根据检测结果完成芯片的测试分选。芯片封装缺陷检测系统框架如图 1 所示。

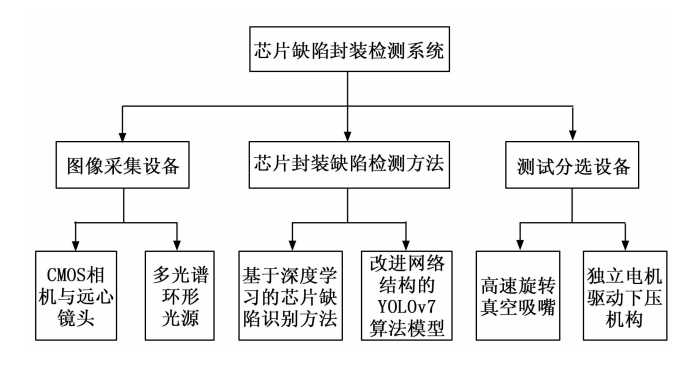


图 1 芯片封装缺陷检测系统框架

芯片封装表面缺陷检测系统由三部分组成:图像采集设备、基于深度学习的芯片封装缺陷检测识别方法以及测试分选设备。

其中图像采集设备负责自动、连续的芯片封装表面 图像采集,芯片封装缺陷检测识别方法负责芯片封装缺 陷的检测与识别,以及根据图像识别结果实现芯片的分选,而测试分选设备则主要负责芯片由上料到旋转、定位、检测与测试、分选等步骤的高速、高精度、高稳定性的运动实现^[8]。

1.2 系统工作原理

检测软件启动后,首先默认设置上次运行的各项参数,接着加载迁移网络的训练模型,完成整个设备的初始化。然后当光纤传感器感知到芯片样品时,同步获取CMOS高速相机拍摄中的视频流,选择帧图像或本地图像送入检测网络模型中。通过检测网络模型快速判断出是否存在缺陷并输出检测结果图像,如果存在缺陷,检测结果图像会标记出缺陷的位置和种类,检测信息栏中同步地显示出缺陷的数量、类别和置信度等信息,同时报警提示系统收到控制信号后,会将带缺陷的芯片缺陷样品的位置信息及缺陷种类信息进行播报。如果不存在缺陷,设备正常运行,快速地进入下一帧图像的检测。

2 系统硬件设计

2.1 图像采集硬件设计

2.1.1 CMOS 相机

相机是图像采集系统中最关键的一部分,它负责将光信号转化为电信号。相机根据芯片类型的差异可分为CCD (Charge Coupled Device)和CMOS (Complementary Metal Oxide Semiconductor)相机。CMOS 相机的工作原理是将光信号转换成模信号电压,然后将模信号电压串行扫描,转换为数字值,最终形成一个像素单元。针对芯片测试分选流程的实际应用场景,结合相关装置对检测精度、速度的具体技术要求,CMOS 相机相较于CCD相机有着更好的抗晕光和拖尾能力[^{19]},同时信噪比和灵敏度也较好,更适用于本实验场景。故本系统选用CMOS 相机。

2.1.2 远心镜头

传统工业镜头存在因被测物体表面距离镜头的距离 不一致,造成放大倍率不同,镜头畸变较大的问题。

而远心镜头能够保证物体在一定物距范围内所成像不发生变化,即保证在这段距离内图像的放大倍率始终保持一致,这种设计对于不在同一平面内的物体成像有着重要作用。远心镜头拥有特殊的平行光路,且有着极高的分辨率、极低的畸变、较大的景深等特点,可采集清晰且不失真的芯片封装图像,因此在精密检测方面应用前景广泛。

因此,针对芯片封装产品整幅图像的边缘同样也包含待检测目标,且不同芯片品种的厚度不同的情况,本系统选用远心镜头。

2.1.3 多光谱环形光源

现阶段工业产品质量检测系统通常采用 LED 光源,

在不同场景及需求下会有不同问题,如条形光源通常是较大物体的首选光源,但由于其直线型照明角度并不能消除物体表面不平整导致的阴影,所以不适用于芯片封装缺陷检测[10]。同轴光源可以很好地弥补条形光源的不足,但其光源颜色单一,使得光线照射下的物体表面同色部位区分度不明显,因此同轴光源也不适用于封装检测。针对封装尺寸小且表面易反光的特点,本系统选择采用多光谱环形光源,能突出显示封装产品的形状光泽,适应多种封装类型。

为获取图像采集目标平面的均匀照明效果,本系统研究基于光源照度模型的光源优化布置方法,包括光照数学模型建立、光照均匀性评价函数设计、基于智能优化算法的光照评价函数寻优,通过系统仿真及实验分析验证,获取具有最优光照效果时的系统光源优化布置参数。

2.2 测试分选硬件设计

2.2.1 高速旋转真空吸嘴

真空系统是测试分选装置实现芯片搬运的关键组成部分,真空吸附技术应用的好坏将直接影响设备飞料率指标和无故障运行时间指标,影响设备工作的稳定性。真空吸附技术是以大气压力作为作用力来吸附物料以达到起吊物料的作用。在吸嘴与物料中间的封闭空间内,抽出一部分的空气分子使得封闭空间内的气压减小,形成负压真空,物料在外界压力的作用下被吸附在真空吸嘴上。

真空吸嘴产生的理论吸附力,与吸附面积、真空度有关,因此本系统可建立真空吸嘴吸持芯片随分选机主电机在工位之间旋转的动力学模型,从而推导出高速旋转状态下真空吸附力的计算公式。分选机真空吸嘴吸持芯片的旋转运动是由主电机工位的主电机驱动实现的,吸嘴吸持芯片需要的动态吸力与主电机的加减速控制曲线相关。常用伺服电机的加减速控制曲线有 S 形加减速曲线和梯形加减速曲线。

本系统将对这两种曲线下吸嘴吸持芯片需要的动态 吸力进行对比研究,揭示主电机的运动形式与动态吸力 之间的关系,给出主电机在两种加减速运动形式下,分 选机真空吸嘴可靠吸持芯片,不同转动周期所需提供的 最小真空度的参考值,降低飞料率,延长无故障运行时 间。真空吸嘴工作原理如图 2 所示。

2.2.2 独立电机驱动下压机构

测试分选设备为了保证集成电路芯片与电性能测试 座之间不发生碰撞,造成集成电路与测试座损坏,采用 独立电机驱动下压机构。转塔式测试分选设备现有技术中,集成电路测试分选设备的下压机构高速测试运行时,由控制器输入一个将定位目标给定位置发送给电机

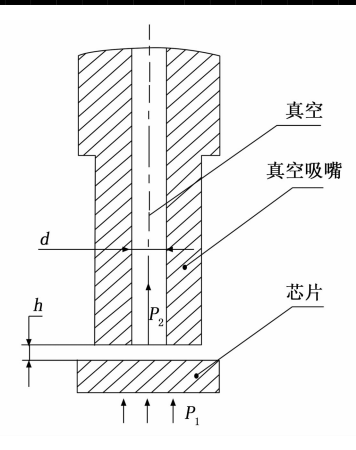


图 2 真空吸嘴工作原理示意图

运动模块, 电机驱动下压机构的下压杆吸附芯片下压运 动至测试座。下压机构运行过程中,由于负载状态会发 生变化,如果该变化没有考虑进去未考虑负载状态的变 化,会将导致下压机构运行状态不受控,芯片与测试座 之间极易发生碰撞,从而造成集成电路芯片及与测试座 的损坏, 并且芯片与测试座之间的测试接触力无法满足 电性能测试规范要求[11]。

为实现芯片与电性能测试座的无损接触, 本系统采 用独立电机驱动下压机构, 研究芯片下压过程的分段力 矩控制,实现芯片与测试座之间的稳定可靠接触。下压 机构下压过程中芯片位置与状态如图 3 所示。

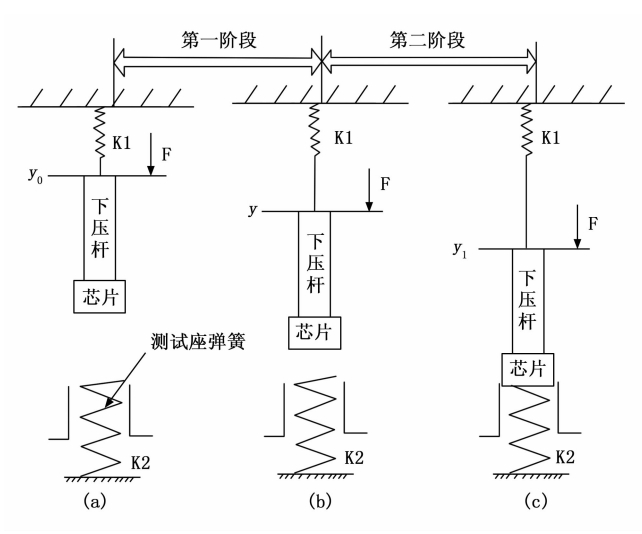


图 3 下压机构下压过程中芯片位置与状态示意图

设定下压杆下压过程中芯片的位置状态,包括初始 位置状态、第一位置状态及第二位置状态; 初始位置状 态为芯片吸附在下压杆上准备下压时的状态,第一位置 状态为芯片非常接近干测试座籍片表面,下压杆的运动 速度接近于0时的状态;第二位置状态为芯片压入测试 座,测试座与芯片之间的接触力达到设定值时的状态; 设定下压杆由初始位置状态运动到第一位置状态的过程 为第一阶段,下压杆由第一位置状态运动到第二位置状 态的过程为第二阶段;通过分段控制有效实现芯片与测 试座之间的稳定可靠接触。

第 33 卷

2.2.3 机械传动装置

机械传动装置其结构主体为 XYZ 三轴移动平台, 传动部分由三段电机驱动丝杆构成, 边缘处均设有霍尔 传感器以进行限位,中央 Z 轴为图像采集模块,主要 包含了 CMOS 相机、镜头及 LED 光源等器件,将它们 固定在实验平台上后,将实验平台的移动传动装置以及 相机、光源等连接至上位机。然后将相机拍摄画面先行 显示在上位机上预览,通过程序自动操作调整相机光源 一体的 Z 轴高度,调节镜头焦距使得相机能够准确对 焦,显示清晰。

3 系统软件设计

3.1 系统软件架构

系统软件架构是本系统中至关重要的组成部分,它 集成了图像采集、缺陷检测、测试分选以及控制系统等 多个核心模块。整体架构采用模块化设计原则,确保了 系统的高扩展性和可维护性。各模块之间通过高效的通 信协议和数据接口实现无缝连接和信息交互,形成了一 个协同工作的整体系统。模块化设计不仅简化了开发流 程,还提高了系统的灵活性和可靠性,为后续的维护和 升级工作提供了便利。

3.2 图像采集软件设计

图像采集软件是整个系统的"眼睛",它负责精确 控制 CMOS 相机和机械传动装置,确保图像数据的稳 定采集。该软件支持自动扫描和手动定位两种操作模 式,以满足不同检测场景下的需求。在自动扫描模式 下,软件根据预设的扫描路径和参数,自动调整相机的 位置和焦距,连续采集芯片表面的图像数据。而在手动 定位模式下,用户可以通过直观的操作界面,精确控制 相机移动到指定位置,进行定点图像采集。

为了提升图像采集的效率和准确性,该软件还集成 了实时预览和图像质量评估功能。在采集过程中,用户 可以实时查看相机传回的图像,并根据图像清晰度、对 比度等评估标准, 对采集质量进行即时判断。若图像质 量不满足预设标准,软件将自动发出警报,提示用户重 新进行图像采集,从而确保后续缺陷检测的准确性和可 靠性。

3.3 缺陷检测软件设计

受限于芯片自身尺寸, 芯片封装缺陷存在尺寸小、 不同类型缺陷特征相近、特征提取困难等问题, 而基于 深度学习技术的 YOLO 系列算法,应用于目标检测领 域时相比其他类型算法能够较好地平衡检测精度与速 度,从而减少手动提取特征对缺陷识别精度的影响[12]。

因此系统引入 YOLOv7 模型,整个模型可以分为 3 个部分,分别是 CSPDarknet, FPN 以及 YOLO Head^[13]。

CSPDarknet 可以被称作 YOLOv7 的主干特征提取 网络,输入的图片首先会在 CSPDarknet 里面进行特征 提取,提取到的特征可以被称作特征层,是输入图片的特征集合。FPN 可以被称作 YOLOX 的加强特征提取 网络,在主干部分获得的 3 个有效特征层会在这一部分进行特征融合,特征融合的目的是结合不同尺度的特征信息。YOLO Head 是 YOLOX 的分类器与回归器。YOLO Head 实际上所做的工作就是对特征点进行判断,判断特征点是否有缺陷与其对应。

在 YOLOv7 算法模型基础上,针对集成电路芯片 封装缺陷检测实际应用场景,对网络结构作了进一步 改进。

在图像数据增强部分,采用图像裁剪、仿射变换、图像旋转等传统数据扩增,与基于生成对抗网络的图像生成相结合的方式,进一步扩展封装缺陷图像数据集。在识别网络结构部分,引入 SPD-Conv 空间深度转换卷积、SPPF 空间金字塔池化等模块,以及通过迁移学习等方式,进一步提升模型训练速度与识别性能,提高模型的鲁棒性与泛化能力[14]。在 Backbone 部分,将 SP-PCSPC 模块替换为 RFB 模块,去掉了一个 MP 层和ELAN 层,同时在每个 ELAN 层之后加入了 CBAM 注意力模块,以减少模型参数并提高检测速度。

在 Neck 部分,与经典的 PANet、Bi-FPN 等 FPN 结构相比,采用的 Neck 层更加简洁。该结构只输入两个特征有效层并将它们合并,只进行一次上采样,而删除了下采样。此结构非常适合芯片缺陷检测任务,能够减少大量的计算量并有效提高 Map^[15]。改进的 YOLOv7 网络结构如图 4 所示。

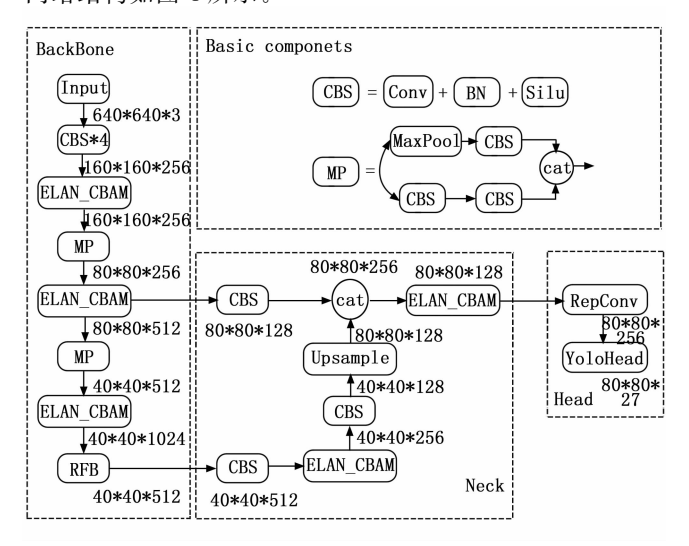


图 4 改进 YOLOv7 网络结构示意图

3.4 测试分选软件设计

测试分选软件是连接缺陷检测与芯片剔除的关键环节,它负责根据缺陷检测系统的识别结果,控制测试分选装置对芯片进行精确的分选与剔除操作。该软件由缺陷芯片识别、坐标定位、真空吸嘴控制和分类回收等多个功能模块组成,形成了一个高效的测试分选流程。

在缺陷芯片识别模块中,软件首先从缺陷检测系统中获取识别结果和缺陷芯片的坐标信息。然后,在坐标定位模块中,软件将这些坐标信息转换为机械传动装置的移动指令,确保真空吸嘴能够准确移动到缺陷芯片的位置^[16]。在真空吸嘴控制模块中,软件通过精确控制真空吸嘴的吸附力和移动速度,将缺陷芯片稳定吸附并搬运至指定位置。最后,在分类回收模块中,软件根据预设的分类规则和标准,将吸附的缺陷芯片搬运至分类回收区进行存放和处理。

为了确保测试分选过程的稳定性和安全性,该软件还具备实时监测和故障报警功能。在监测过程中,软件通过传感器实时检测测试分选装置的运行状态和各项参数指标。一旦发现异常情况或潜在故障隐患,软件将立即发出警报并停止运行相关设备,避免造成进一步的损失或伤害。

4 实验分析

4.1 搭建实验环境

4.1.1 硬件环境

本次实验中,自主设计的小型封装芯片高速转塔式测试分选设备集成了高分辨率工业相机、精密机械臂、高速图像处理单元及 PC 上位机控制系统等高精度组件。高分辨率工业相机采用先进图像传感技术,捕捉芯片表面微小细节,为图像处理奠定基础。精密机械臂通过高精度伺服控制,实现芯片的稳定抓取与定位。高速图像处理单元迅速处理图像数据,提升检测速度。PC上位机控制系统则协调各部件工作,确保测试流程顺畅进行。

4.1.2 软件环境

项目基于 Python 编程语言构建缺陷检测算法体系,利用 TensorFlow 或 PyTorch 等深度学习框架设计并训练多个模型,自动提取芯片图像特征,实现缺陷识别^[17]。同时,引入 OpenCV 开源计算机视觉库,对图像进行预处理与特征提取,提升检测效率与准确性。整体算法体系高效且易于维护,满足生产线高速检测需求。

4.1.3 测试样本

测试样本覆盖了市场上常见的多种封装类型芯片,包括 SOP、QFP、BGA等,每种类型均包含已知缺陷芯片和无缺陷芯片。已知缺陷芯片模拟了实际生产中可能出现的各种缺陷,如划痕、裂纹、凹陷等,以全面评

估算法检测能力^[18]。样本多样性与代表性确保了测试结果的可靠性与普适性。通过严格测试与验证,为算法优化与实际应用提供有力数据支持。

4.2 实验过程

4.2.1 图像采集与上传

图像采集与上传是芯片封装缺陷检测流程的首要环节,其精确性与效率直接影响后续的检测与分选工作。在准备阶段,首先需将 CMOS 相机、镜头、环形 LED 光源等关键设备牢固安装在实验平台上,并确保它们之间的连接稳定可靠。随后,通过线缆将实验平台的移动传动装置、相机及光源等与控制中心——上位机相连,构建起一个完整的图像采集系统。

启动系统后,相机开始捕捉画面,并将实时图像传输至上位机进行显示。此时,操作人员需根据图像质量调整相机的位置与焦距。通过旋转固定杆旋钮,可以精确控制相机与光源组合在 Z 轴上的高度,以确保光线以最佳角度照射到芯片表面,减少阴影和反光。同时,调节镜头的焦距使得相机能够准确对焦,使图像更加清晰细腻。

在移动平台的 X 轴滑杆两侧,安装有一组霍尔传感器,它们与 X 轴传送杆上的感应磁铁相互配合,实现相机的精准定位与停止控制。当相机运动到 X 轴滑杆的两端时,霍尔传感器会立即检测到磁铁的存在,并向上位机发送停止信号。接收到信号后,上位机会控制传动装置在 X 轴方向上停止运动,并转而驱动相机在 Y 轴方向上移动一段预设的距离。这段距离经过精心计算,旨在在有限的扫描时间内覆盖更多的芯片区域,提高采集效率。

随着传动装置在 X 轴与 Y 轴之间的交替运动,相机逐渐遍历整个实验平台上的芯片区域,并将采集到的图像实时上传至芯片封装缺陷检测系统。当系统检测到已识别的芯片数量达到预设的总芯片数时,即视为扫描完成。此时,传动装置会控制相机回到初始位置,准备进行下一次的扫描任务。

4.2.2 芯片封装缺陷检测

在图像采集与上传任务圆满完成之后,芯片封装缺陷检测系统随即过渡到检测阶段。此系统为了应对多样化的检测需求,设计了实时检测与单次检测两种高效模式。

1) 实时检测模式:

当需要对生产线上的芯片进行即时监控与检测时, 用户需执行特定操作,即将预测文件中的模式参数精确设定为"实时检测"模式,并准确输入待检测视频 文件的存储路径,或指定连接到系统的摄像机设备地址。系统一经启动,便会立刻激活视频处理模块,对 视频流中的每一帧图像进行细致入微的分析与处理。 在此过程中,系统不仅能够实时展示检测速度,以每 秒处理的帧数为单位进行量化,还能同步展示检测结 果的图像。

尤为重要的是,系统内置了强大的数据处理与记录 功能,能够自动捕捉并详细记录每一帧中检测到的缺陷 信息,包括但不限于缺陷的类型、大小、位置坐标等关 键数据。

这些数据以清晰明了的文字形式呈现,不仅便于操作人员即时掌握检测情况,更为后续的芯片分选操作提供了坚实的数据支撑。实时检测模式检测结果如图 5 所示。

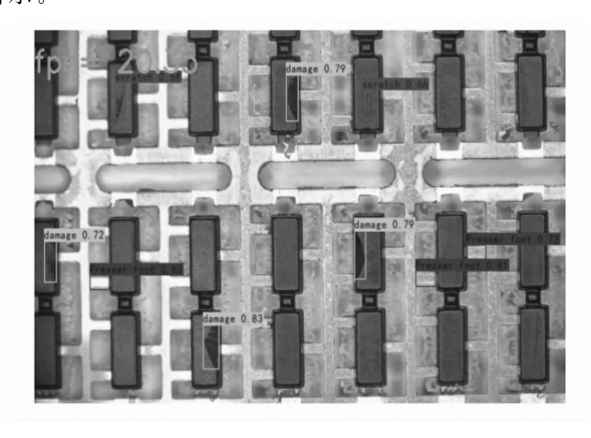


图 5 实时检测模式检测结果

2) 单次检测模式:

对于离线或批量处理的芯片图像,系统提供了单次 检测模式以满足需求。用户需将模式参数调整为"单次 检测",随后在命令提示符界面精确输入待检测的芯片 图片文件路径。系统接收到指令后,会迅速加载并读取 图片文件,随即启动高效的检测程序对图片进行深度分析。在极短的时间内,系统便能完成检测任务。单次检 测模式检测结果如图 6 所示。

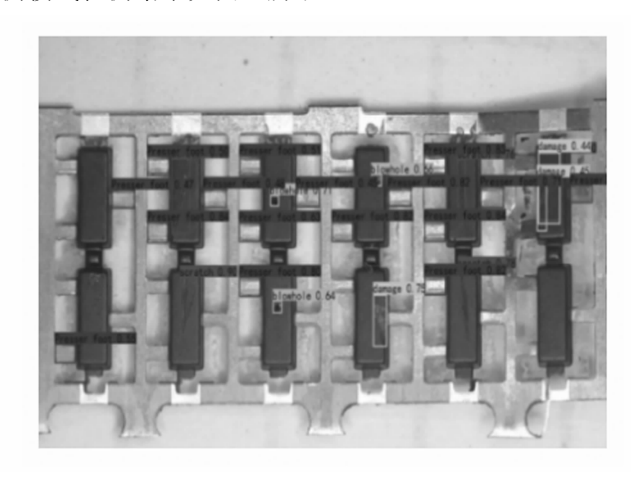


图 6 单次检测模式检测结果

4.2.3 芯片测试分选

测试分选装置,作为实验的最后一环,其设计旨在高效、精确地测试和分类回收存在缺陷的芯片,以确保产品质量并优化资源利用。该装置集成了先进的机械、电气及控制技术,实现了从缺陷识别到自动分选的全程自动化处理。具体操作步骤详解如下:

- 1)精确获取缺陷芯片坐标:首先,测试分选装置依赖于高精度的机器视觉系统或其他先进的检测手段,对芯片进行全方位、多角度的检测。通过复杂的图像处理算法,系统能够自动识别并标记出缺陷芯片的具体位置坐标,这些坐标数据将被准确无误地记录并传输至分选装置的控制中心,为后续操作提供精确指引。
- 2) 真空吸嘴的高精度定位与移动:在接收到缺陷芯片坐标数据后,测试分选装置立即启动其精密的传动系统。该系统通过编程控制,驱动真空吸嘴沿着预设的轨迹精准移动至缺陷芯片所在位置。在移动过程中,装置内置的传感器实时监测并调整位置,确保吸嘴能够以极高的精度到达指定位置,为后续的吸附操作打下坚实基础。
- 3) 优化吸附过程确保芯片稳定:当真空吸嘴到达缺陷芯片上方时,系统会迅速调整吸嘴内部的真空度,产生足够的吸力以牢固地吸附住芯片。这一过程中,吸力的大小和吸附时间均经过精心计算与优化,以确保既能稳固地抓住芯片,又不会对芯片造成任何损伤。
- 4) 精准分类回收提升资源利用率:在完成芯片的吸附后,真空吸嘴会按照预设的路径将缺陷芯片转移至分类回收区。这些回收区根据芯片的类型、尺寸及缺陷程度进行了细致的划分,以便后续进行有针对性的回收处理。在转移过程中,装置通过精确的控制确保芯片能够平稳、准确地落入对应的回收容器中,避免混淆与交叉污染。
- 5)循环作业实现高效分选:上述步骤完成后,测试分选装置将自动返回至起始位置,准备进行下一轮的分选作业。整个过程中,装置通过循环执行上述步骤,实现了对生产线上所有缺陷芯片的高效、精准分选。同时,装置还具备故障自检与报警功能,一旦发现异常情况将立即停机并发出警报信号,确保生产线的安全与稳定。

4.3 实验结果

实验结束后,系统会自动生成一份详尽的实验检测结果报告。该报告不仅包含了清晰的检测结果图像,还详细列出了检测的总体统计信息,具体涵盖了合格芯片的数量、缺陷芯片的数量以及各类缺陷的分布情况等,为实验分析提供了全面的数据基础。

此外,对于每一个被检测出的缺陷芯片,系统都会

详尽地记录其图像信息、精确的缺陷位置以及具体的缺陷描述,从而确保了信息的完整性和准确性,极大地便利了用户对缺陷芯片的深入分析和处理。

最后,为了便于后续的分析与处理,系统会自动将 所检批次的缺陷样本图像进行归档保存,这不仅有助于 保存宝贵的实验数据,也为后续的系统改进需求提供了 极大的便利和可能性。实验检测结果报告如图 7 所示。

_4	А	В	C	D	E	F	G	Н	1	J
1	Defect defection of IC chip packaging									
2										
3		version:YOLOv7\loss:best0_epoch_weights.pth\time:2023/6/20 22:32:10								
4	lu st	14 mg 2/ 88	统计信息				blowhole others 完成时间/ms			
5	批次	检测总量	无误数	问題数	scratch	damage	blowhole	others	,	
6	1	1823	1634	189	44	72	25	48	189	000
7	日志									
8	问题序号	总序号	问题类型 //按顺序分别以1、2、3、4代替			路径				
9	1	23	1			D:\ddic_c	ut\2023_06	_20@22321	0\img1. jpg	
10	2	44	2			D:\ddic_out\2023_06_20@223210\img2.jpg				
11	3	45	1			D:\ddic_out\2023_06_20@223210\img3.jpg				
12	4	46	1			D:\ddic_c	ut\2023_06	_20022321	0\img4. jps	
13	5	78	2			D:\ddic_out\2023_06_20@223210\img5. jpg				
14	6	91	2			D:\ddic_out\2023_06_20@223210\img6.jpg				
15	7	123	4			D:\ddic_out\2023_06_20@223210\img7. jpg				
16	8	134	3			D:\ddic_out\2023_06_20@223210\img8.jpg				
17	9	135	4			D:\ddic_out\2023_06_20@223210\img9.jpg				
18	10	137	4			D:\ddic_out\2023_06_20@223210\img10.jp				
19	11	187	4			D:\ddic_out\2023_06_20@223210\img11.jp				
20	12	201	2			D:\ddic_out\2023_06_20@223210\img12.jp				
21	13	214	3			D:\ddic_out\2023_06_20@223210\img13.jp				
22	14	217	1			D:\ddic_out\2023_06_20@223210\img14.jp				
23	15	231	2			D:\ddic_out\2023_06_20@223210\img15.jp				
24	16	233	1			D:\ddic_out\2023_06_20@223210\img16.jp				
25	17	246	3			D:\ddic_out\2023_06_20@223210\img17. jp				
26	18	264	2			D:\ddic_out\2023_06_20@223210\img18.jp				
27	19	289	4			D:\ddic_out\2023_06_20@223210\img19.jp				
28	20	300	3			D:\ddic_out\2023_06_20@223210\img20.jp				
29	21	311	1			D:\ddic out\2023 06 20@223210\img21. jp				

图 7 实验检测结果报告

基于检测结果报告,深入地挖掘和分析其中的数据与信息,从而提炼并总结出系统性能表,为实际生产应用中的决策制定、缺陷排查与效率提升提供强有力的数据支撑。系统性能表如表1所示。

表 1 系统性能表

检测对象	系统性能
检测速度/FPS	≥22.5
检测准确率/%	≥90
空跑/k	≥40
无故障运行/h	≥120
环境温度/℃	22±5

4.4 实验结果分析

4.4.1 缺陷检测系统性能评估

1) 检测种类全面:本系统针对芯片封装过程中可能出现的多种缺陷类型进行了深入研究与模拟测试,成功实现了对划痕、破损、溢胶、坑洼等多种常见缺陷的精准识别。实验数据显示,在划痕缺陷检测中,系统以92.3%的准确率精准识别出各类型划痕,其中包括细微的线状划痕及深度不一的划痕区域。针对破损缺陷,系统更是达到了94.7%的识别率,面对微小破损、边缘破损或局部崩缺的缺陷,系统也能很快识别。对于溢胶这一常见缺陷,系统以90.1%的识别率准确区分了正

常胶点、轻微溢胶及严重溢胶情况,确保了产品外观的整洁与功能的完整。而针对坑洼缺陷,系统也实现了91.5%的高识别率,无论是由于材料缺陷、加工不当还是外力撞击导致的坑洼,都能被系统精准定位和识别。这一全面覆盖的检测能力,确保了系统在实际应用中能够准确捕捉各种细微的质量问题,为产品的全面质量控制提供了有力支持。

- 2) 检测速度与准确率卓越: 在检测速度与准确率方面,系统表现卓越。实验数据显示,系统的平均检测速度达到 22.5 FPS,超过设定的 20 FPS 目标,这一速度在同类系统中处于领先地位。同时,系统的整体识别准确率稳定在 92.8%,最高时达到 94.2%,均超过行业平均水平。这数据不仅验证了系统在高速检测场景下的高效性,还进一步确保了检测结果的准确性和可靠性,有效降低了因误检和漏检带来的质量风险,从而显著提升了生产线的整体效率和最终产品的质量[19]。
- 3)稳定性与鲁棒性强:为了全面验证系统的稳定性与鲁棒性,实验进行了严格的多维度测试。在不同时间(包括白天高峰时段与夜间低负荷时段)及多样环境条件(如温度变化范围为18~26℃,相对湿度控制在40%~60%的无尘室内)下进行了连续50次重复实验。实验结果显示,系统在各种复杂环境中均能保持卓越表现,平均检测速度稳定在22.5 FPS以上,而识别准确率则维持在92.8%~94.2%的高水平。在连续不间断运行的24 h测试中,系统实现了零重大故障,平均无故障间隔时间长达120 h,超过设计预期与行业标准,充分验证了系统在不同工况下的稳定性和高可靠性,为生产线的持续高效运行提供了强有力的技术支撑。

4.4.2 测试分选机样机性能表现

- 1)生产效率高:针对小型封装芯片的高效检测与分选需求,测试分选机样机同样展现出了出色的性能。在严格的空载测试环境下,样机实现了单位小时高达40千颗的产量,这一数据显著超越了当前市场上的同类产品,平均单位产量提升了约15%。高生产效率直接加速了芯片的检测与分选流程,使生产周期缩短近20%,显著降低了整体生产成本。即便在芯片以高速(最高可达每分钟数百颗)进行旋转与传输的过程中,样机依然能够维持稳定且精准的检测精度,其分拣准确率持续保持在99%以上,有效保障了产品质量。此外,样机还配备了先进的自校准与补偿机制,以应对生产环境中的微小波动,进一步提高了其作为高性能解决方案的市场地位^[20]。
- 2) 可靠性优异: 为了全面验证测试分选机样机的可靠性,实验进行了模拟长时间连续运行的严苛测试。实验数据显示,样机在连续不间断运行72 h后,依然

保持稳定的检测精度与分拣准确率,无故障运行时间超过 120 h,远超行业平均水平。期间,机械传动系统表现出色,传动精度误差控制在微米级;真空吸附系统持续稳定工作,吸附力波动小于 1%,确保芯片搬运无遗漏;控制系统响应迅速,指令执行延迟低于毫秒级。全面检查未发现任何异常磨损或老化迹象,充分证明了样机在恶劣生产环境下的高可靠性、稳定性和耐用性。

- 4.4.3 系统整体运行稳定性验证
- 1) 环境适应性强:在针对半导体生产车间的极端环境测试中,实验将系统置于22±5℃的恒温无尘室内,并额外模拟了湿度高达85%RH、温度波动至50℃以及含尘量达到ISO7级(即每立方米空气中粒径大于0.1微米的颗粒数不超过352000个)的恶劣条件。实验数据明确显示,系统在这些极端环境下连续运行超过72h,检测精度保持在90%以上,检测速度未低于22.5 FPS,波动幅度不超过1%,且机械传动系统、真空吸附系统及控制系统均稳定运行,无性能下降或故障记录。这一结果不仅验证了系统对温度、湿度及尘埃的高度适应性,还彰显了其在复杂工业环境中的卓越稳定性和可靠性[21]。
- 2) 长时间运行稳定:为了进一步验证系统的稳定性与可靠性,实验进行了为期四周的连续不间断测试运行。在此期间,系统内部的高分辨率 CMOS 相机、精密机械臂、高速图像处理单元及 PC 上位机控制系统均表现出色,未发生任何重大故障。通过实时监控系统日志,系统 CPU 使用率稳定在 30%~40%,内存占用率未超过 60%,充分证明了软件层面的高效运行。此外,机械传动装置和真空吸嘴系统在高强度作业下依然保持高精度定位与稳定吸附,空跑测试每小时可达 40 千次。这些实际数据充分证明了系统在长时间运行下的稳定性和可靠性,为企业的持续高效生产提供了坚实的技术保障。

综上所述,本次实验成功设计出了一套高效、精准的芯片封装缺陷检测系统,经过严格的实验测试与验证,充分证明了其在实际应用中的稳定性与可靠性。这一成果不但显著提升芯片封装的质量与效率,而且为企业的实际生产应用提供了坚实的技术支撑,推动半导体产业向更高水平发展。

5 结束语

针对集成电路芯片封装过程中普遍存在的缺陷问题,本文设计并实施了一套深度学习技术的芯片封装缺陷检测系统,集成了高效的图像采集系统、基于YOLOv7算法的缺陷检测软件以及创新的高速转塔式测试分选装置。实验结果表明,该系统在芯片缺陷检测的准确率、速度和稳定性方面表现优异,有效提升了产

品质量信息反馈的准确性和及时性。尽管如此,系统在 处理更复杂缺陷、提高测试分选设备的性能以及增强控 制系统的功能拓展性和操作便利性方面还有待改进。展 望未来,将继续深化在芯片封装缺陷检测领域的研究, 不断优化算法和硬件,完善控制系统,以构建一个更高 效、更精确、更智能化的芯片封装缺陷检测系统,为半 导体产业提供更可靠的质量保障和技术支持。

参考文献:

- [1] 连浩森. 半监督学习方法 [M]. 西安: 西安电子科技大
- [2] 李明辉, 赵 雷. 钢铁表面缺陷检测技术 [J]. 电子技术 应用,2021,47 (12):143-148.
- [3] CHANG L, CHEN Y, WU H, et al. Recent advances in 3D packaging technologies for integrated circuits [J]. Microsystems & Nanoengineering, 2023, 58 (20): 9-21.
- [4] 金立国, 王晓艳. 深度学习在集成电路封装缺陷检测中的 应用「J]. 微电子学, 2021, 51 (4): 523-527.
- [5] 王 军,李 明. 集成电路封装过程中的缺陷分析与控制 [J]. 电子元件与材料, 2020, 39 (8): 5-10.
- [6] 陈 杰, 刘晓宇. 机器视觉在半导体封装检测中的应用 [J]. 自动化仪表, 2019, 40 (12): 234-237.
- [7] 李明辉, 刘 伟. 半导体封装设备的发展现状与趋势[J]. 电子工业专用设备,2020,49 (6):35-41.
- [8] 赵鹏程, 李晓燕. 人工智能在半导体制造过程优化中的应 用[J]. 自动化与仪表, 2021, 36 (10): 61-66.
- [9] 张 华, 王晓辉. 高速图像处理技术在半导体缺陷检测中 的应用「J7. 计算机工程与应用, 2018, 54 (20): 128 -132.
- [10] 吴 飞,杨国青.自动表面缺陷检测技术的最新进展

(上接第 44 页)

- [9] 张俊红,孙诗跃,朱小龙,等.基于改进卷积神经网络的 柴油机故障诊断方法研究[J]. 振动与冲击, 2022, 41 (6): 139 - 146.
- [10] 王舒玮. 基于麻雀算法优化 BP 神经网络诊断数控机床 故障 [J]. 沈阳工业大学学报, 2023, 45 (5): 546
- [11] 李金蓉, 邓先红, 张 乐, 等. 基于 SOM 神经网络应 急柴油发电机组故障诊断研究「J]. 核科学与工程, 2022, 42 (5): 1152 - 1157.
- [12] 彭 强. 煤矿大型机械设备滚动轴承故障诊断改进方法 研究「J]. 煤炭工程, 2023, 55 (4): 141-146.
- [13] 李世晓,杜锦华,龙 云.基于一维卷积神经网络的机 电作动器故障诊断[J]. 电工技术学报, 2022, 37 (s1): 62-73.
- [14] 沈 阳, 黄文豪, 俞 龙, 等. 基于 IF 和 SHAP 的无监 督机械故障检测和诊断方法 [J]. 南京理工大学学报,

- [J]. 计算机集成制造系统, 2020, 26 (6): 1453-1466.
- [11] 杨国栋, 刘晓辉. 高 速、高精度半导体测试分选设备 设计进展 [J]. 电子工业专用设备, 2021, 50 (6): 440 -468.
- [12] BOCHKOVSKIY A, WANG C, LIAO H, et al. YOLOv7: trainable bag-of-freebies sets new state-of-the-art for realtime object detectors [J]. ArXiv Preprint ArXiv, 2022, 30 (2): 440 - 468.
- [13] LIN T, GIRSHICK R, HE K, HARIHARAN H, et al. Feature pyramid networks for object detection [J]. IEEE Conference on Computer Vision and Pattern Recognition, 2017, 33 (12): 2117 - 2125.
- [14] 林 涛, 张晓龙. 基于深度学习的半导体晶圆缺陷检测研 究[J]. 半导体技术, 2021, 46 (11): 879-884.
- [15] 刘玉梅, 张晓华. 先进封装技术对半导体产业的影响分析 [J]. 电子元件与材料, 2022, 41 (2): 60-65.
- [16] 刘伟强, 陈晓红. 深度学习在图像识别领域的研究进展 与应用「J7. 计算机工程与应用, 2022, 58 (15): 88 - 92
- [17] 周飞燕,金林鹏,董 军. 卷积神经网络研究综述 [J]. 计算机学报,2017,40 (6):1229-1251.
- [18] 王建国,张 伟. 三维封装技术在集成电路中的应用与挑 战 [J]. 微纳电子技术, 2021, 58 (11): 889-896.
- [19] SMITH A, JOHNSON B. Advanced packaging technologies for integrated circuits [J]. John Wiley & Sons, 2019, 27 (4): 198 - 202.
- [20] 陈杰明, 李 华. 低功耗封装技术在移动设备芯片中的应 用[J]. 半导体技术, 2022, 47 (4): 267-272.
- [21] 孙立军, 王海燕. 绿色环保封装材料在半导体产业中的应 用「J7. 材料导报,2022,36 (1):54-59.
- [15] 魏建峰. 基于 RFID 技术的煤矿机电设备运行监测系统 研究 [J]. 中国煤炭, 2023, 49 (s2): 322-325.

2023, 47 (1): 66 - 73.

- [16] 何冬康, 刘方平, 谭顺学, 等. 基于 MRSVD 与 LMD 的工业机器人交叉滚子轴承故障特征提取[J]. 机床与 液压, 2023, 51 (4): 191-196.
- [17] 许昕蕾, 黄伟迪, 于 斌, 等. 基于倒频谱的轴向柱塞 泵松靴故障特征提取 [J]. 液压与气动, 2023, 47 (11): 1-9.
- [18] 王新铭, 党开放, 马艺涛, 等. 注塑机故障诊断技术进 展 [J]. 塑料工业, 2023, 51 (11): 15-20.
- [19] 许昆明, 陈换过, 肖 雪, 等. 基于深度学习的 EHA 油滤堵塞和增压油箱漏气故障诊断方法 [J]. 导弹与航 天运载技术 (中英文), 2023 (6): 75-80.
- [20] 门茂琛, 段石磊, 郭 磊. 基于多特征融合的电压致热 型设备故障检测 [J]. 电瓷避雷器, 2022 (4): 228 -235.